

Abb. 151 (oben):  
Tagesanlagen der Flußspatgrube  
Schönbrunn von SO  
(Foto: KUSCHKA 1993)

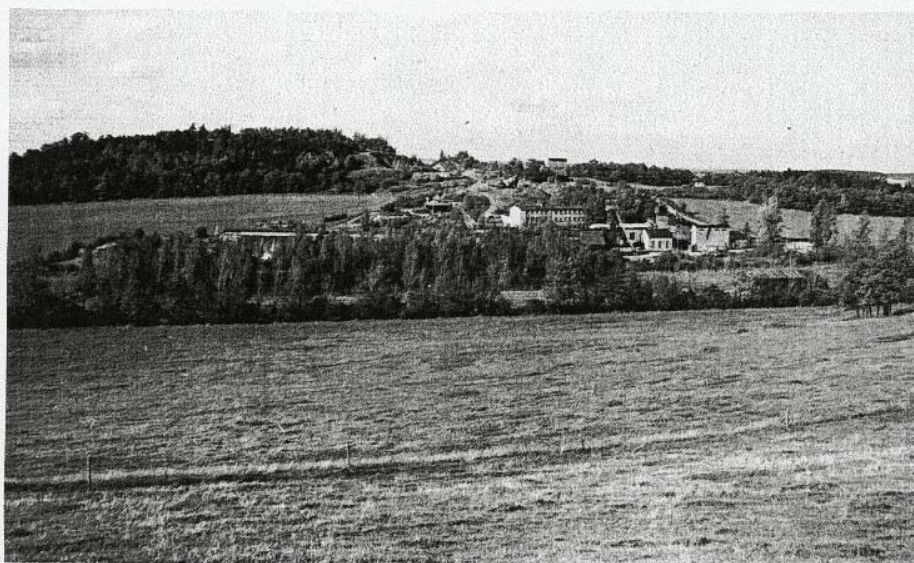


Abb. 152 (Mitte):  
Tagesanlagen der Flußspatgrube  
Schönbrunn (Ausschnitt). Links  
oben der Zentralschacht, Bildmit-  
te der Hauptschacht, rechts dane-  
ben die "Alte Kunst"  
(Foto: KUSCHKA 1993)

Abb. 153 (unten links):  
Tagebau "Alte Kunst" mit dem  
Stollenmundloch der Grube Lud-  
wig. Klinghammer und Rosen-  
stock, Schönbrunn bei Oelsnitz,  
Archivfoto 19.09.1930.

Abb. 154 (unten rechts):  
wie Abb. 153, NO-Stoß des Ta-  
gebaues rechts.

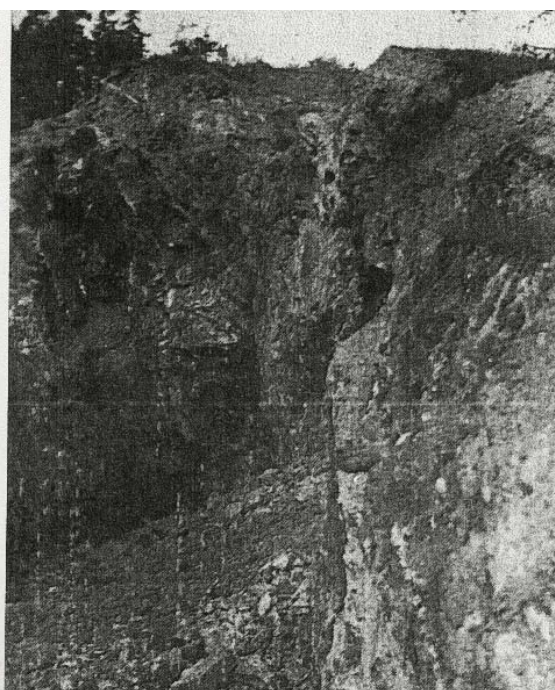
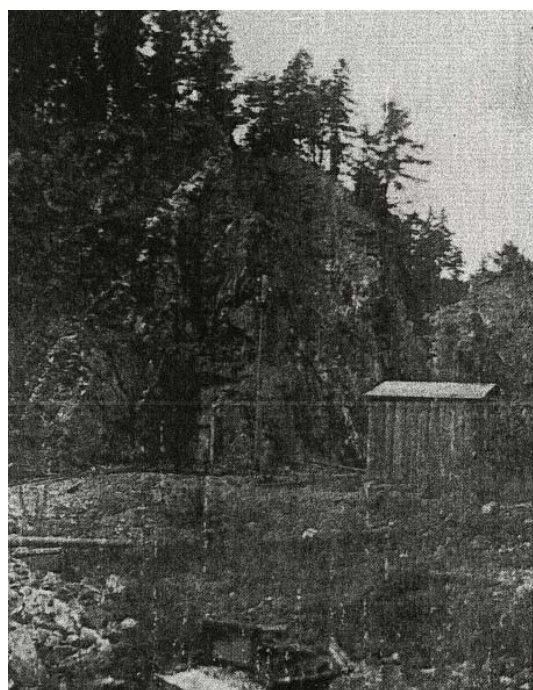
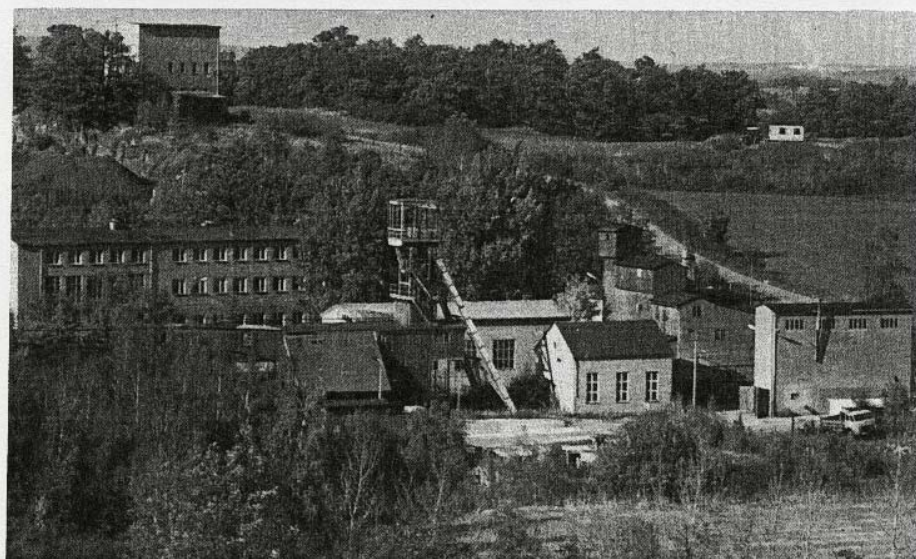


Abb. 155:  
Schacht "Alte Kunst" der Ludwig  
vereinig Feld Fundgrube, Schön-  
brunn bei Oelsnitz.  
Archivfoto 19.09.1930.

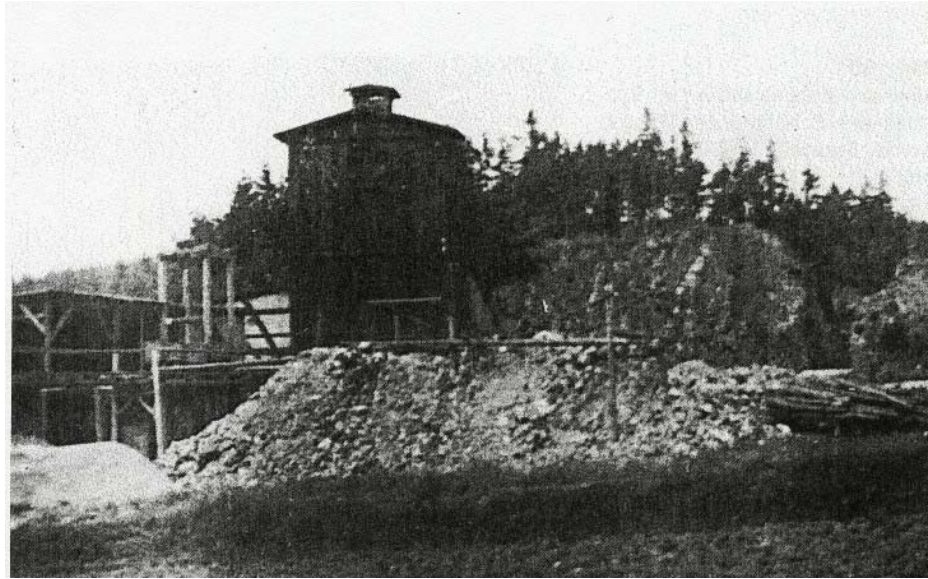


Abb. 156:  
Sortieranlage der Grube Ludwig,  
Schönbrunn bei Oelsnitz, Archiv-  
foto 19.09.1930.

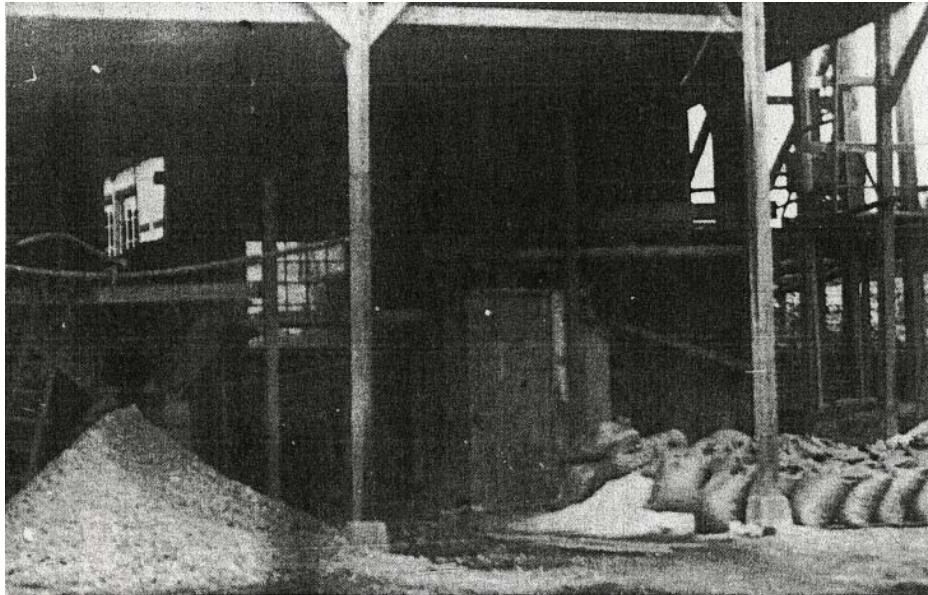


Abb. 157:  
Tagesanlage der Grube Ebner  
(später Stengel), Schönbrunn bei  
Oelsnitz, Archivfoto 19.09.1930

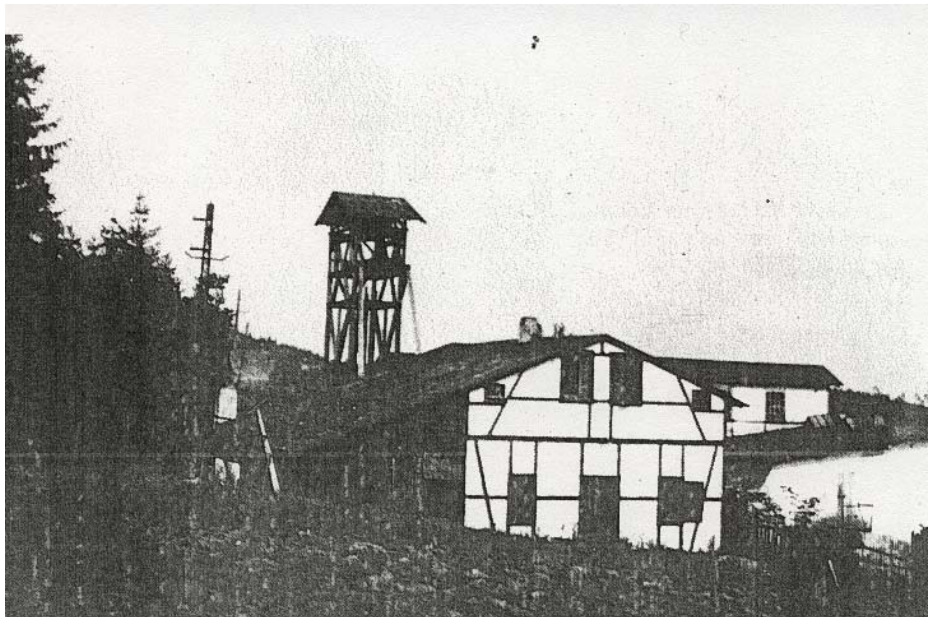


Abb. 158:  
Handhaspelbetrieb (25 m) im Süd-  
ostteil des Schönbrunner Ganges  
(Grube Stengel) (1930, Archiv-  
foto)

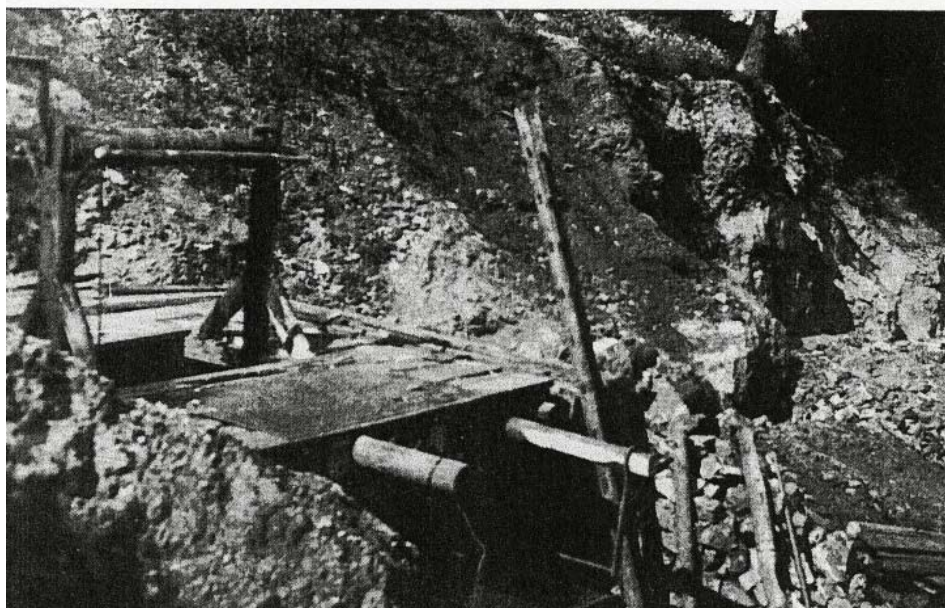


Abb. 159:  
Schachtanlage Schönbrunn im  
Jahre 1958 (Foto: BERNSTEIN)



Abb. 160:  
Hauptschacht Schönbrunn (Erkun-  
dungsbetrieb) im Jahre 1958  
(Foto: BERNSTEIN)

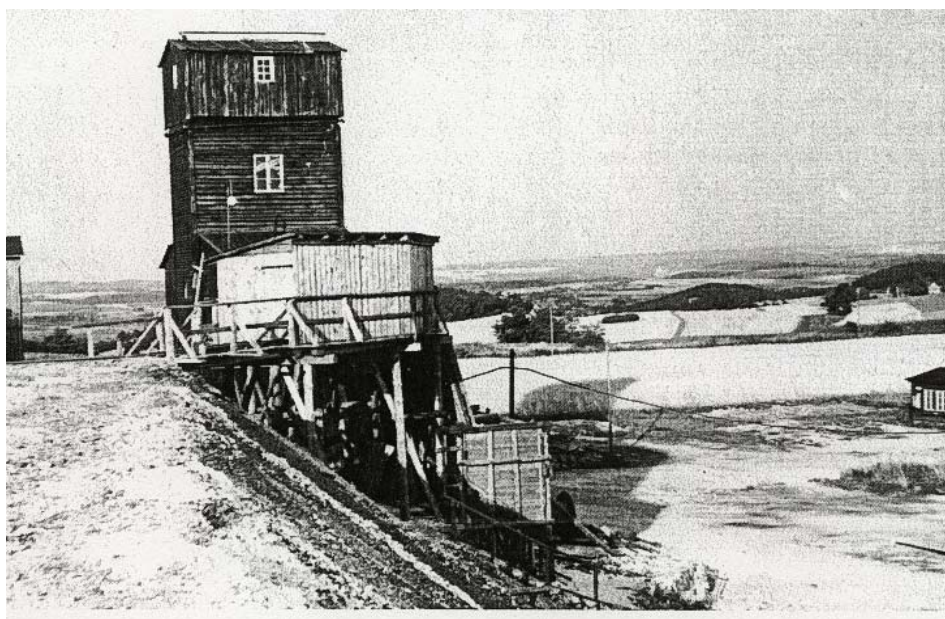


Abb. 161:  
Schacht "Alte Kunst" und Aufbe-  
reitung Schönbrunn  
(Foto: BERNSTEIN 1958)

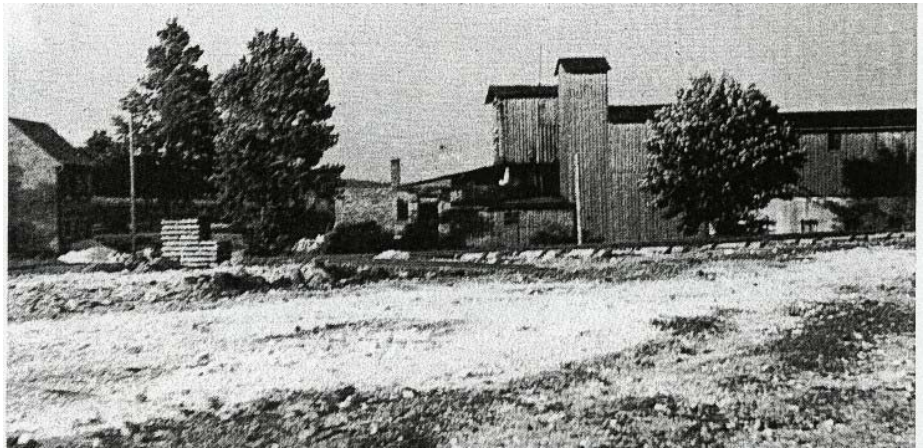


Abb. 162:  
Ansicht der Tagesanlagen der  
Flußspatgrube Bösenbrunn von  
Süd (Foto: BERNSTEIN 1957)

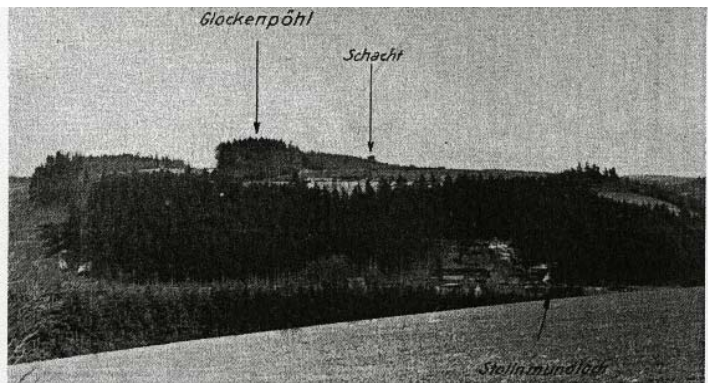


Abb. 163:  
Tagesanlagen der Flußspatgrube  
Bösenbrunn mit Blick auf die Grü-  
ne Tanne (Foto: CLAUSS 1958)

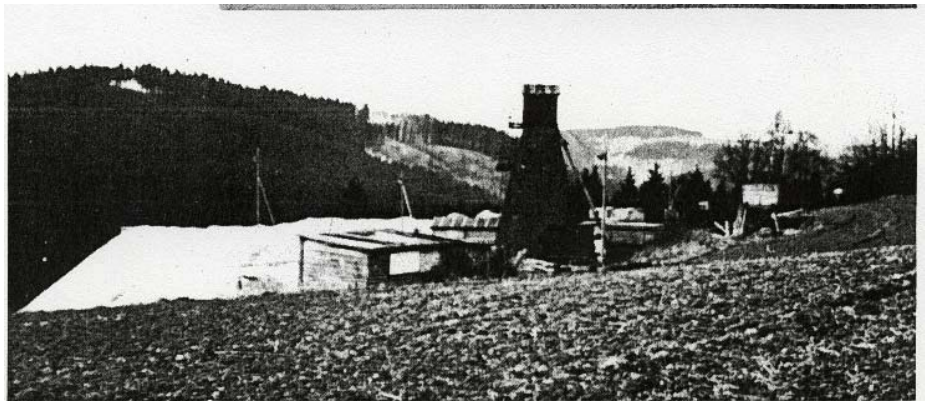


Abb. 164:  
Schachtturm der Flußspatgrube  
Bösenbrunn im Vogtland  
(Foto: CLAUSS 1958)



Abb. 165:  
Flußspatgrube Wiedersberg, Blick  
von der Straße Plauen - Hof auf  
die Tagesanlagen  
(Foto: CLAUSS 1958)

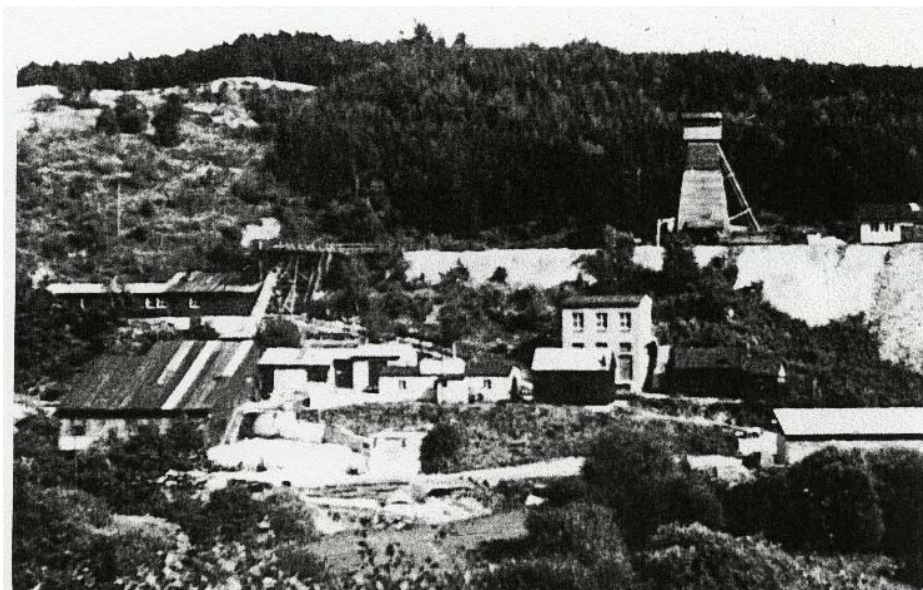
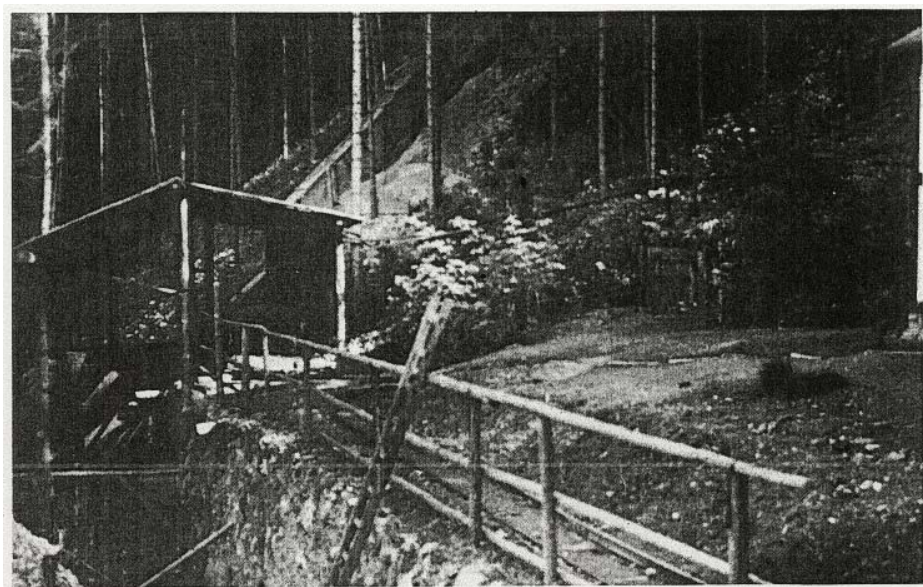


Abb. 166:  
Maschinenhaus und Förderturm  
der Flußspatgrube Wiedersberg  
(Foto: VULPIUS 1957)



Abb. 167:  
Grube Hertha bei Wiedersberg.  
Links die Klassieranlage, Mitte  
Hintergrund: Rutsche vom Oberen  
Stollen, darunter das Mundloch  
des Tiefen Stollens, rechts Diesel-  
und Kompressorenhaus. Archiv-  
foto 19.09.1930



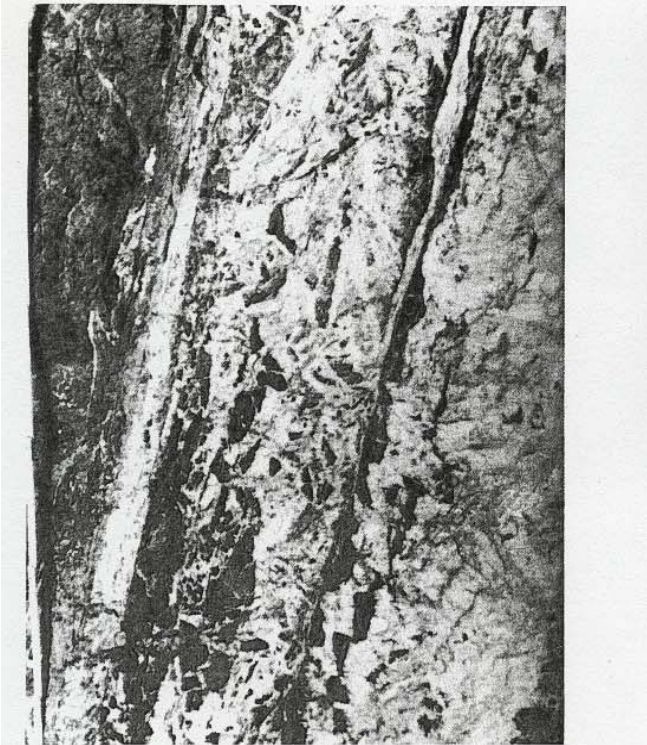


Abb. 168 (links oben): Quarz-Brekziengang, z. T. Schergangstruktur, Folgengruppe qhm in der "FPQ"-Fazies, erste Quarzfolge, Schönbrunn, 173 m-Sohle (Foto: BERNSTEIN 1958)

Abb. 169 (oben rechts): Trümer der Folgengruppe qhm in "FPQ"-Fazies von Sternquarz und Adular (Graue Bänder), im Original kräftig orange und weiß, Schönbrunn 173 m-Sohle (Foto: BERNSTEIN 1958)

Abb. 170 (unten links): Quarz-Brekziengang am Beginn der Folgengruppe qhm (Foto: SCHREIBER 1975)

Abb. 171 (Mitte rechts): Sternquarz, zerstückelt durch post-mineralische Einengungsstörungen, Schönbrunn, 133 m-Sohle (Foto: BERNSTEIN 1958)

Abb. 172:  
 Folgenreihe qhm in "FPQ"-Fazies, Hauptgangzone, mit älterem Quarz und Kokarden-Flußspat. Im Original: weiße Quarzbänder mit rötlichem Adular und violetter und grünem Flußspat, Schönbrunn, 173 m-Sohle, Querschlag 4 SW (Foto: BERNSTEIN 1958)



Abb. 173:  
 Ausschnitt von Kokardenstrukturen im Flußspatgang, Folgenreihe qhm, "FPQ"-Fazies. Originalfarben: Quarz weiß, teilweise mit orangerotem Adular, Flußspat violett und grün in verschiedenen Farbtiefen. Schönbrunn, 173 m-Sohle, Querschlag 2 SW (Foto: BERNSTEIN 1958)

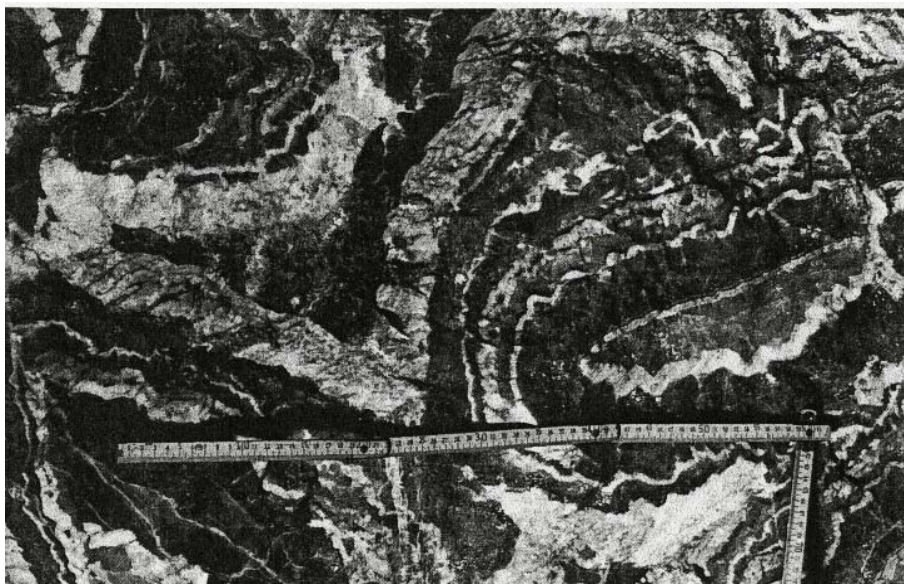


Abb. 174:  
 wie Abb. 173, anderer Ausschnitt

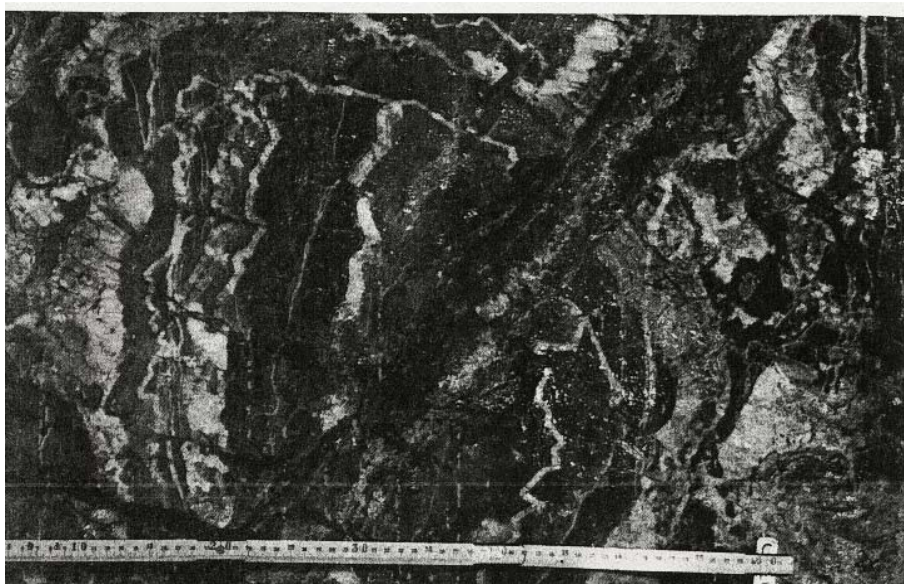




Abb. 175:  
Zerstückelung des Flußspatganges durch postmineralische Aufschiebungen in der Südostlinse von Schönbrunn, 173 m-Sohle (Foto: BERNSTEIN 1958)



Abb. 176:  
Aufschiebung des Hauptflußspatrumes auf älteren Sternquarz an einer postmineralischen Störung. Schönbrunn, 133 m-Sohle (Foto: BERNSTEIN 1958)

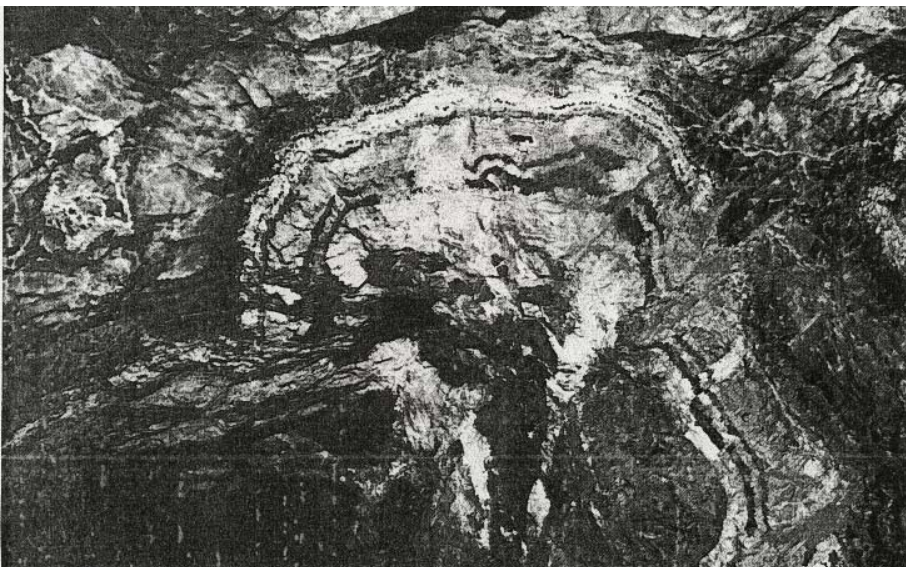


Abb. 177:  
Im Bereich der NW-Linse von Schönbrunn ist die Bänderung der Folgegruppe qhm ("FPQ"-Fazies) weniger ausgeprägt. Schönbrunn, 93 m-Sohle, bei Querschlag 37 (Foto: BERNSTEIN 1958)

Abb. 178:  
 Quarz-Fluorit-Bänderung, Folgen-  
 gruppe qhm ("FPQ"-Fazies), NW-  
 Linse Schönbrunn, Gangstrecke  
 93 m-Sohle  
 (Foto: BERNSTEIN 1958)



Abb. 179:  
 Quarz-Fluorit-Kokarde, Beispiel für  
 die einfacher gebänderte Ausbil-  
 dung der Fgr. qhm ("FPQ"-Fa-  
 zies), Schönbrunn, 93 m-Sohle,  
 NW-Linse  
 (Foto: BERNSTEIN 1958)

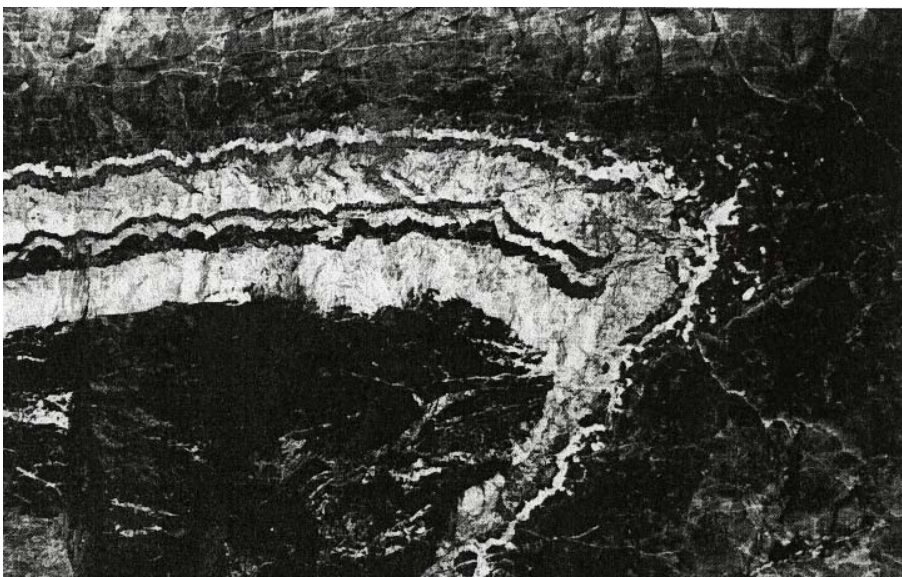


Abb. 180:  
 Auf Quarz-Adular der Fgr. qhm  
 (rechts) folgt sofort Hauptfluß-  
 spat der Fgr. flq, Schönbrunn,  
 173 m-Sohle, Querschlag 51 SO,  
 erster Anbruch der NW-Linse  
 (Foto: BERNSTEIN 1958)



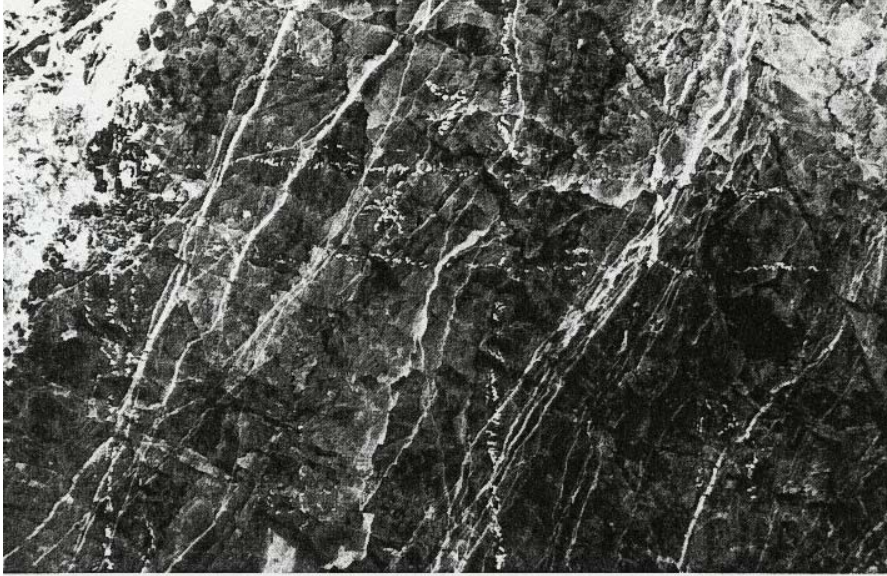


Abb. 181:  
Normale Ausbildung des Hauptflußspates, Folgenreihe flq, Schönbrunn, 93 m-Sohle, Abbau NW (Foto: BERNSTEIN 1958)

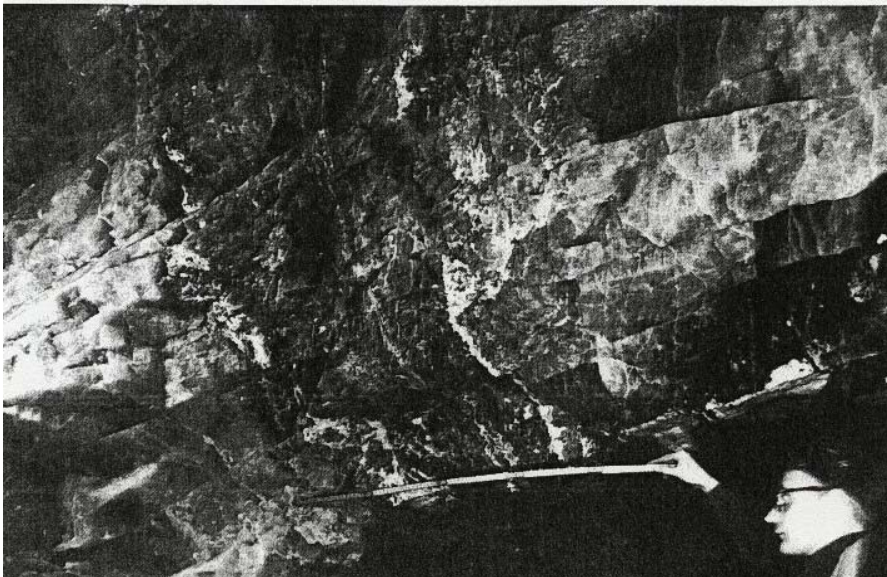


Abb. 182:  
Aufschluß des "Wechselhaften Trums" als letzter Folge der Fgr. flq, Schönbrunn, 93 m-Sohle, Abbau in Höhe des Querschlag 41 (Foto: BERNSTEIN 1958)

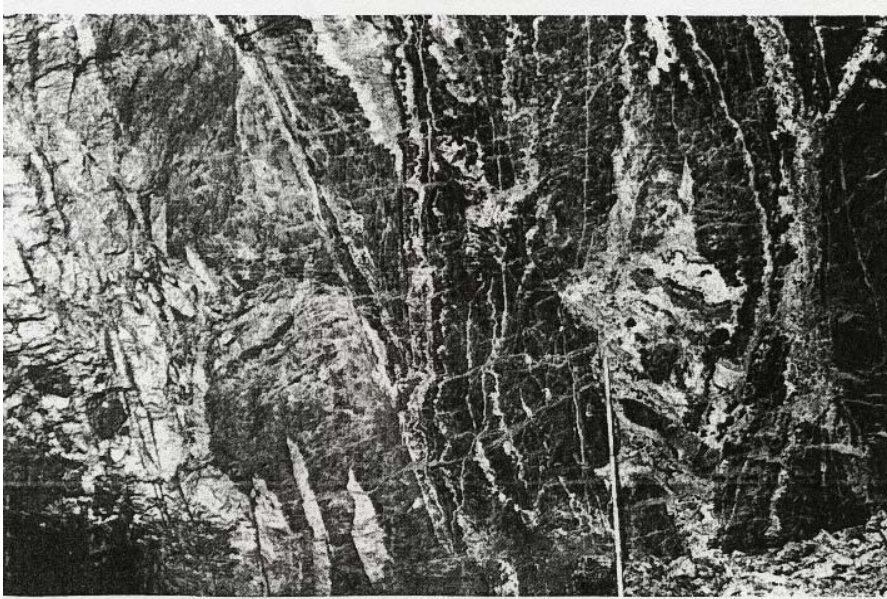


Abb. 183:  
NW-Linse: Sternquarz, Hauptflußspat und "Wechselhaftes Trum", Fgr. flq, Schönbrunn, 93 m-Sohle, am Querschlag 35 (Foto: BERNSTEIN 1958)

Abb. 184:  
 "Wechselhaftes Trum", letzte Folge der Fgr. flq (Hauptflußspat), Schönbrunn , 93 m-Sohle (Foto: BERNSTEIN 1958)

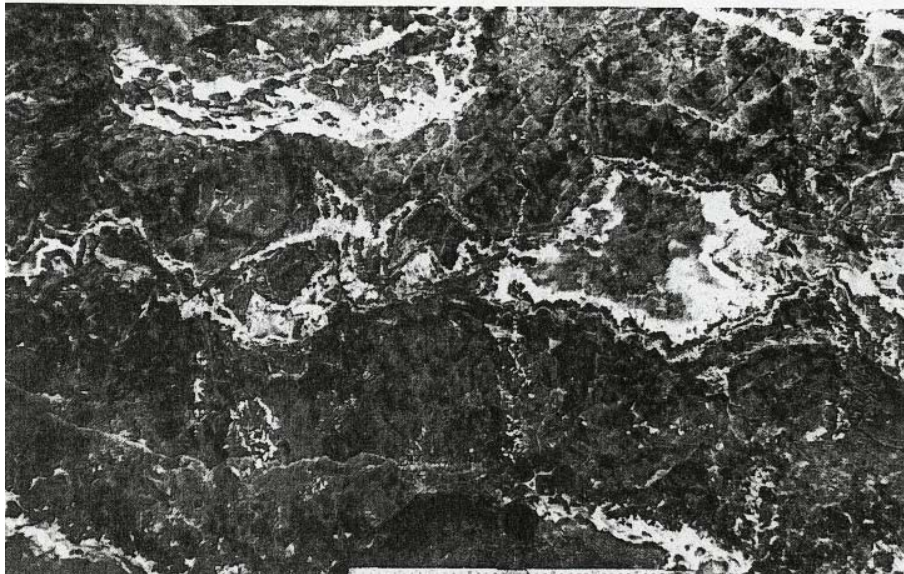


Abb. 185:  
 Quarzpseudomorphosen nach Baryt in blauem Fluorit, alles Folgegruppe bafl, Schönbrunn, 93 m-Sohle (Foto: KUSCHKA 1959)

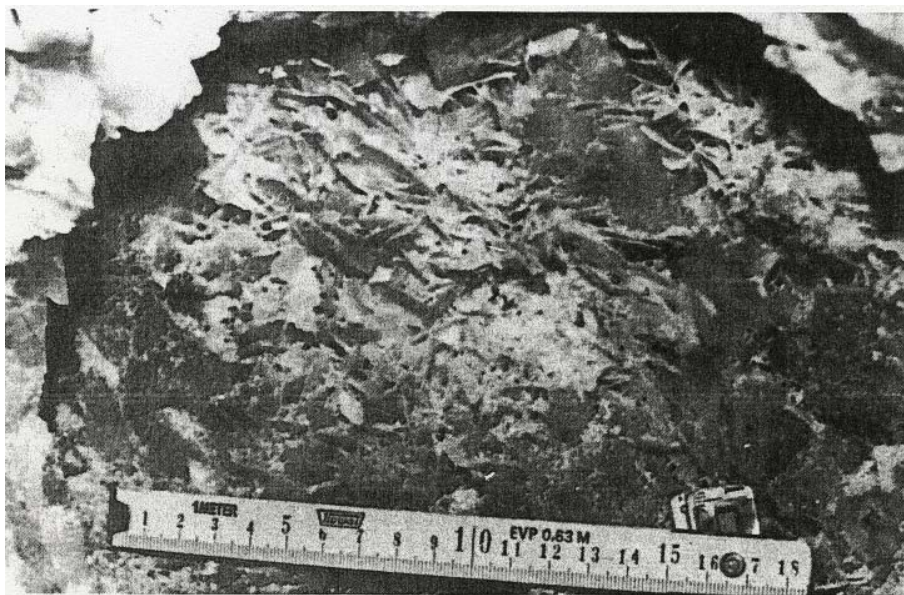


Abb. 186:  
 Typische Ausbildung des jüngeren blauen Fluorits der Fgr. bafl mit "Wolkenquarz", teilweise Quarzpseudomorphosen nach Baryt (Foto: KUSCHKA 1975)

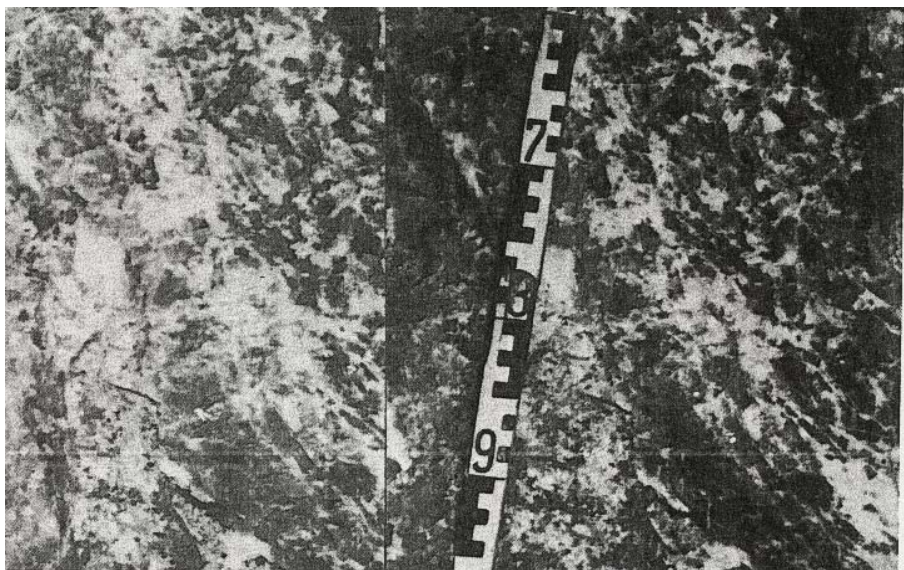




Abb. 187:  
Typische Komplexgangausbildung, vorherrschend Scherganggefüge, Hauptgangzone der Grünen Tanne, Fgr. qhm, Überhauen N 12, 19 - 22 m (Foto: WALTER/SCHREIBER 1977)



Abb. 188:  
Typische Komplexgangbildung, vorherrschend Kokardenstruktur, Fgr. qhm, Hauptgangzone Grüne Tanne, Gangstrecke 12 NW, 160 m-Sohle, Ortsbrust bei 55 m (Foto: WALTER/SCHREIBER 1977)



Abb. 189:  
Hauptgangaufschluß in der Grünen Tanne, 160 m-Sohle, Zerrspaltengangstruktur, rechts Schergangstruktur, Querschlag 14 (Foto: WALTER/SCHREIBER 1977)

Abb. 190:  
 Stark gebänderte Ausbildung der  
 Fgr. qhm ("FPQ"-Fazies) in der  
 Flußspatgrube Bösenbrunn, Firste  
 der 120 m-Sohle  
 (Foto: BERNSTEIN 1958)



Abb. 191:  
 Gebänderte Ausbildung der Fgr.  
 qhm ("FPQ"-Fazies), Grüne Tan-  
 ne, 15 m-Schwebe, Firste bei  
 20 m (Foto: SCHREIBER 1976)

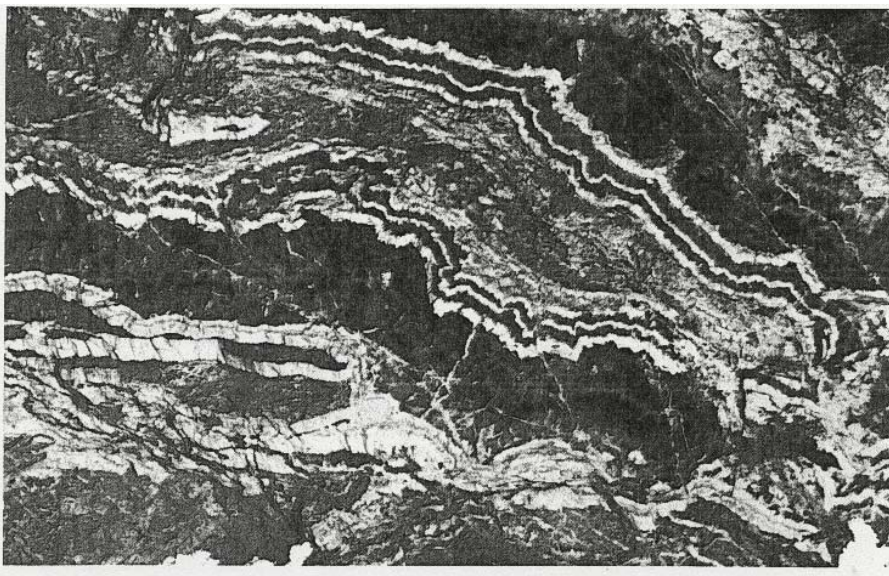


Abb. 192:  
 Stark gebänderte Ausbildung der  
 Fgr. qhm ("FPQ"-Fazies), oben  
 Hauptflußspat. Bösenbrunn, Firste  
 der 120 m-Sohle  
 (Foto: BERNSTEIN 1958)

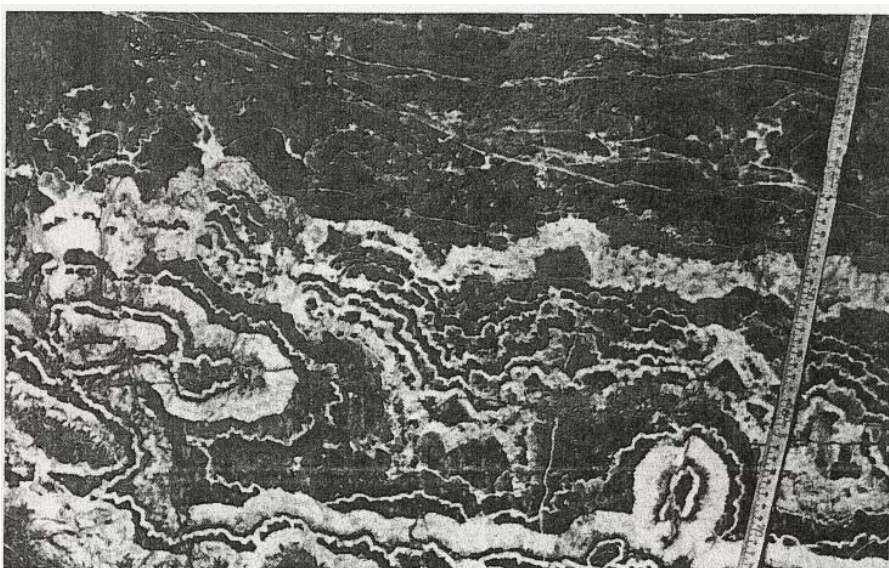




Abb. 193:  
Reliktischer Baryt (Trummitte, weiß) und z. T. Quarzpseudomorphosen nach Baryt im blauen Flußspat der Fgr. baf1, Grüne Tanne, Querschlag 14  
(Foto: KUSCHKA 1976)

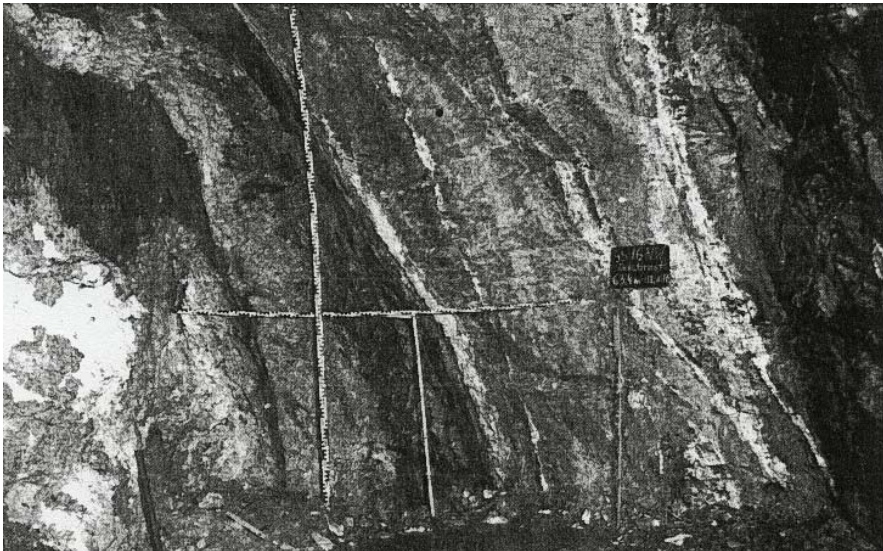


Abb. 194:  
Karbonatgangtrum der Fgr. krsf oberhalb der schwarzen Tafel; außerdem Trum des jüngsten Fluorits, Fgr. flbaq, Grüne Tanne, 160 m-Sohle, Ortsbrust der Gangstrecke 16 NW bei 63,4 m  
(Foto: WALTER 1976)

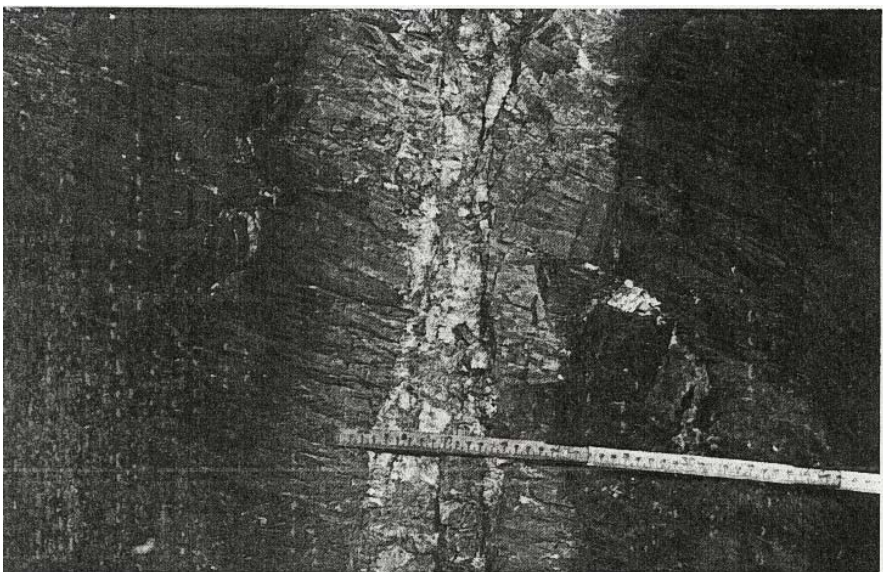


Abb. 195:  
Vom Karbonatrum der Fgr. krsf gehen breite Bleichungszonen aus, hier im ordovizischen Schiefer. Bösenbrunn, 160 m-Sohle  
(Foto: BERNSTEIN 1958)

Abb. 196:  
Gangstück mit Quarz-Fluorit-  
Bänderung der Fgr. qhm ("FPQ"-  
Fazies), Bösenbrunn  
(Foto: BERNSTEIN 1958)

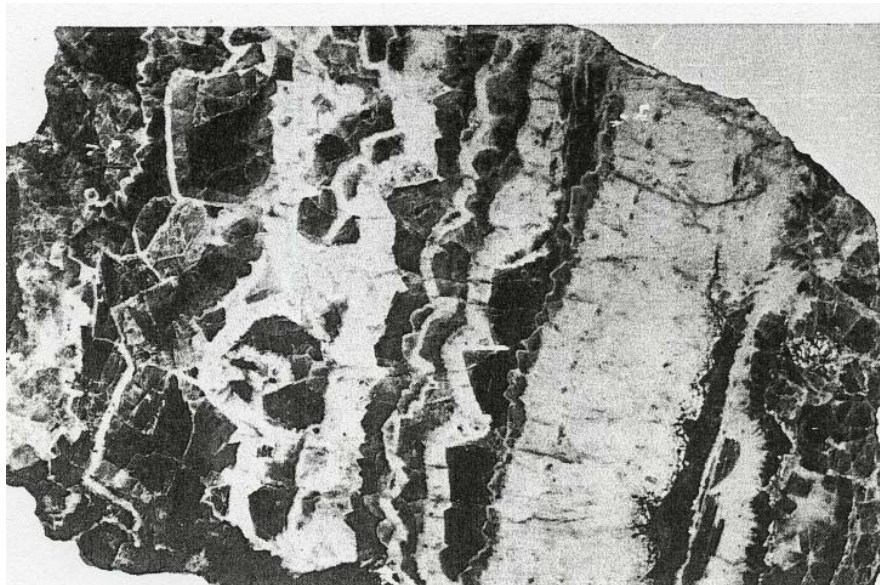


Abb. 197:  
Wie Abb. 196  
(Foto: BERNSTEIN 1958)

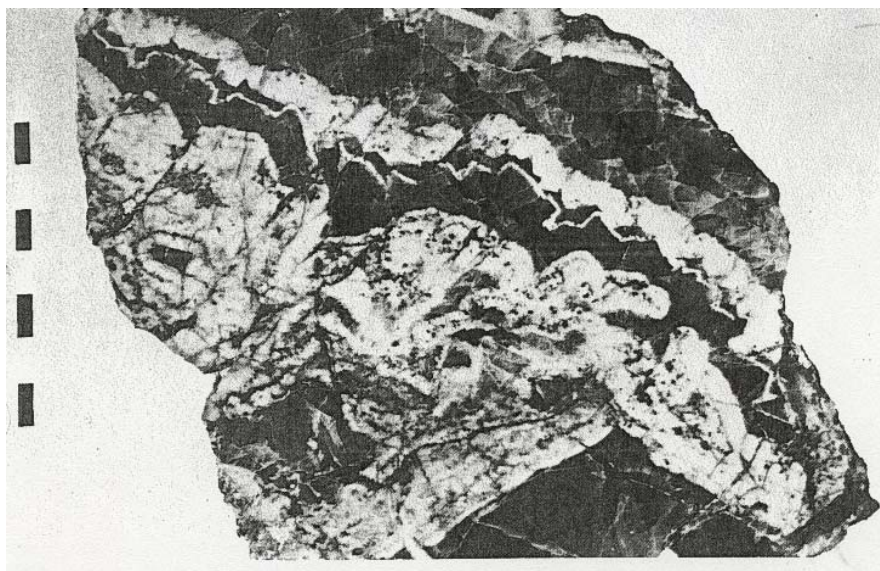
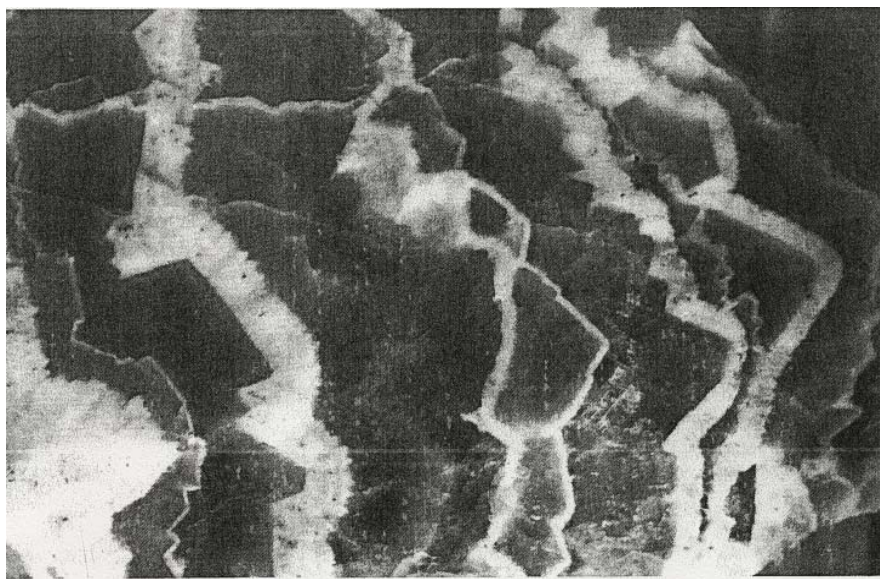


Abb. 198:  
Detail der Quarz-Fluorit-Bände-  
rung, Bösenbrunn



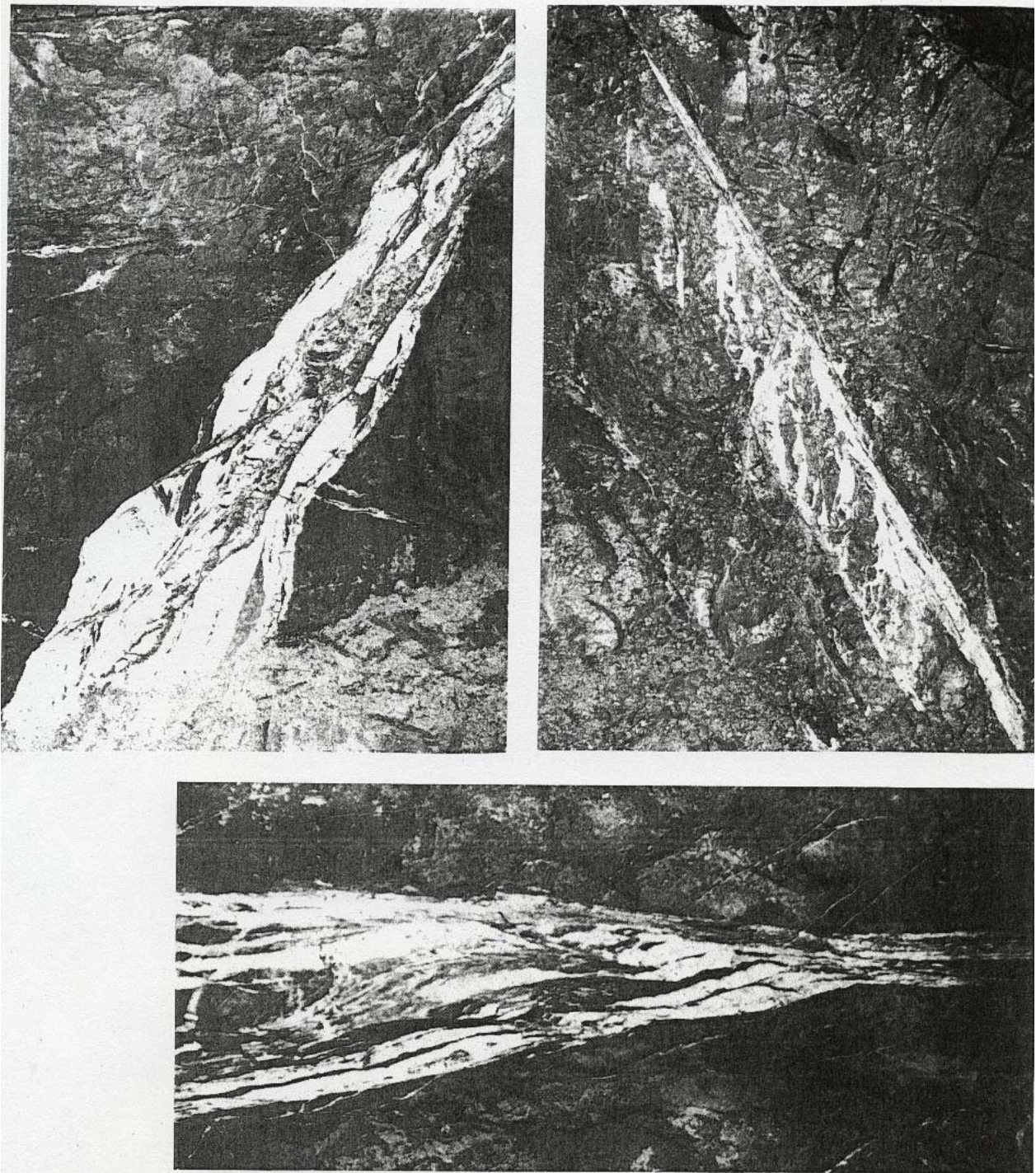
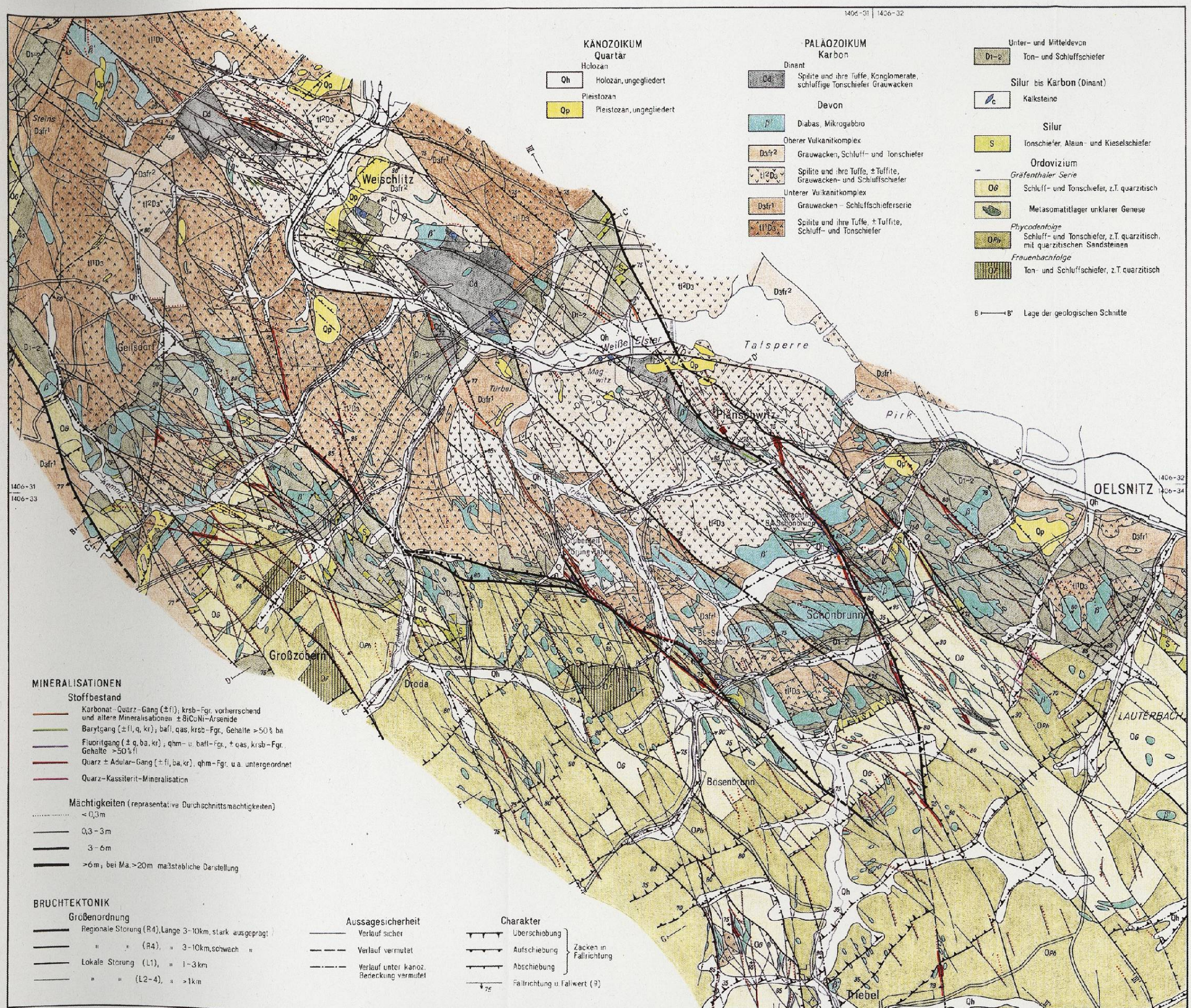


Abb. 199 (links oben):  
Groblinsige Ausbildung eines Quarztrümmers mit Zerrspalten  
und Schergangstrukturen, 173 m-Sohle, Richtquerschlag von  
Schönbrunn nach Bösenbrunn (Foto: KUSCHKA 1978)

Abb. 200 (oben rechts):  
Beispiel eines Fiedertrümmers-Systems im Meterbereich mit  
Schergang- und Fiedertrümmersstrukturen. Fgr. qhm, 173 m-  
Sohle, Richtquerschlag von Schönbrunn nach Bösenbrunn.  
(Foto: KUSCHKA 1978)

Abb. 201 (unten):  
Im Meterbereich widerspiegelt eine kleine Scherlinsengang-  
struktur den Aufbau der Hauptgangzone: Richtquerschlag von  
Schönbrunn nach Bösenbrunn, 173 m-Sohle, Firste  
(Foto: KUSCHKA 1978)



Geologische Karte des Nordostabschnittes des Südwestvogtlandes



Karte der an der Oberfläche anstehenden Bildungen

Vereinfacht zusammengestellt aus den geologischen Karten 1:5000 zur Neuerschätzung Fluorit-Barytführung Erzgebirge/Vogtland Mbl. 5538 (142), Teile d, e, g, h, i und Mbl. 5638 (150), Teile b und c

Geologische Kartierung: D. Hennig, G. Freyer, H.-D. Huebscher (1964/65), H. Doufflet (1967/68)

Korrekturbegehungen, Ergänzungen: K. Holz, B. Hennig, W. Zwenger (1975/76), H.-D. Huebscher (1977/79)

Unter Verwendung der Arbeitsmaterialien von: R. Adler, F. Barth, F. Bergmüller, K.-H. Bernstein, H. Clauß, M. Diemel, H. Doufflet, D. Ehrhardt, J. Fischer, U. Franke, G. Freyer, F. Habekuß, D. Handel, G. Hoesel, H. D. Huebscher, W. Kasper, F. Kleber, E. Kuschka, U. Mahler, U. Merz, K. Mohrhaupt, B. Müller, G. Pestner, W. Quellmaiz, R. Rößmann, G. Schuster, A. Schreiber, H. Schubert, G. Steiner, W. Thoma, D. Wein, G. Wilhelm

Zusammenstellung, bruchtektonische Konzeption und Mineralisation: E. Kuschka (1987)

Kartographische Bearbeitung: H. Fritzsche





Q	Quartär, ungliedert
β	Tertiär, Olivinbasalt
Cd	Dinant; Spilite, Tonschiefer, Konglomerate, Grauwacke
β'	Devon; Diabas
D3	Oberdevon; Vulkanitkomplex, Spilite, Tuffe, Grauwacken, Schluffschiefer
D1-2	Unter- bis Mitteldevon; Ton- und Schluffschiefer
c <sup>x</sup>	Silur bis Karbon; Kalkstein
S	Silur; Ton-, Alaun- und Kieselschiefer
O	Ordovizium; Schluff- und Tonschiefer

**Bruchtektonik**

- (thick solid line) Regionale Störung (R3, R4, ausgeprägt)
- (solid line) Regionale Störung (schwach ausgeprägt, bzw. Ausprägung unbekannt)
- (thin solid line) Lokale Störung
- (dashed line) Störung, Verlauf sicher
- (dash-dot line) Störung, Verlauf vermutet
- (dotted line) Störung, Verlauf unter känozoischer Bedeckung vermutet

**Mineralisation**  
(dargestellt nach vorherrschenden Mineralparagenesen)

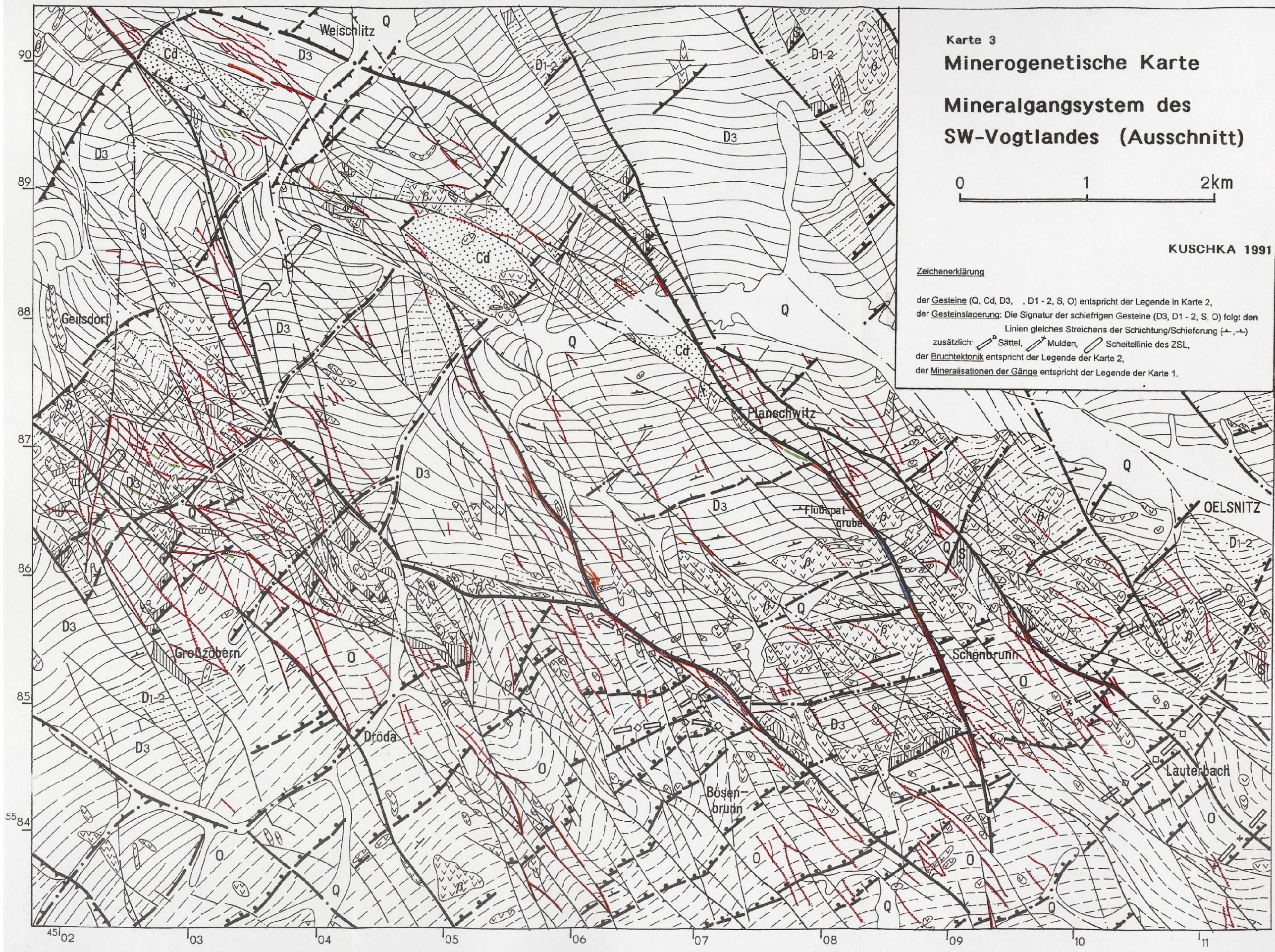
- (red line) qhm (südwestvogtländische Fazies) Quarz - Adular (+ Fluorit)
- (blue line) flq (+ qhm) Fluorit - Quarz (Hauptfluorit)
- (cyan line) bafl Fluorit (+ mit Baryt)
- (orange line) krsb Karbonate-Antimonide, hier in vogtländischer Fe-Cu-betonter Fazies

- (thick solid line) Mineralgroßgang ( $\bar{M} > 3$  m)
- (solid line) Mineralkleingang ( $\bar{M} 0,3 - 3,0$  m)
- (dotted line) Mineralkleingang ( $\bar{M} < 0,3$  m)
- (line with triangles) Aufschiebung
- (line with horizontal bars) Abschiebung
- (line with zig-zag) Schuppenfaltenstörung

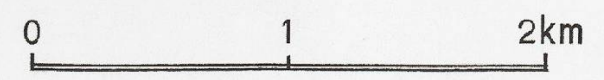
Geologische Karte des Südabschnittes des Südwestvogtlandes







**Karte 3**  
**Minerogenetische Karte**  
**Mineralgangsystem des**  
**SW-Vogtlandes (Ausschnitt)**



KUSCHKA 1991

Zeichenerklärung

der Gesteine (Q, Cd, D3, , D1 - 2, S, O) entspricht der Legende in Karte 2,  
 der Gesteinslagerung: Die Signatur der schiefrigen Gesteine (D3, D1 - 2, S, O) folgt den  
 Linien gleiches Streichens der Schichtung/Schieferung (→, ←)  
 zusätzlich: Sättel, Mulden, Scheitellinie des ZSL,  
 der Bruchtektonik entspricht der Legende der Karte 2,  
 der Mineralisationen der Gänge entspricht der Legende der Karte 1.